

# دانشور

## پژوهشگی

### بررسی زیست سازگاری نانوآلیاف الکتروریسی- شده برپایه کیتوسان در همکشتنی با سلول‌های استرومایی مغز استخوان (BMSCs)

نویسنده‌گان: عسگر امامقلی<sup>۱</sup>، غلامرضا کاکا<sup>\*۲</sup>، مینو صدری<sup>۳</sup>، سید همایون صدرایی<sup>۴</sup>، داوود ذوالفقاری<sup>۵</sup>، زهرا بوربور<sup>۶</sup>

۱. کارشناس ارشد نانوتکنولوژی پزشکی - مرکز تحقیقات علوم اعصاب ، دانشگاه علوم پزشکی بقیه ا... (عج)، تهران، ایران

۲. استادیار - مرکز تحقیقات علوم اعصاب ، دانشگاه علوم پزشکی بقیه ا... (عج)، تهران، ایران

۳. استادیار - پژوهشکده فناوری‌های زیستی، دانشگاه صنعتی مالک اشتر، تهران، ایران

۴. دانشیار - مرکز تحقیقات علوم اعصاب و گروه آناتومی ، دانشگاه علوم پزشکی بقیه ا... (عج) ، تهران، ایران

۵. کارشناس ارشد نانوتکنولوژی پزشکی - مرکز تحقیقات نانویوتکنولوژی ، دانشگاه علوم پزشکی بقیه ا... (عج)، تهران، ایران

۶. کارشناس ارشد میکروبیولوژی پزشکی - مرکز تحقیقات علوم اعصاب ، دانشگاه علوم پزشکی بقیه ا... (عج) ، تهران، ایران

\* نویسنده مسئول: غلامرضا کاکا

E-mail: gh\_kaka@yahoo.com

#### چکیده

مقدمه و هدف: مطالعاتی متعدد در زمینه دستیابی به داربستی منظور رشد سلول‌های بنیادی روی آن انجام شده است. هدف از این تحقیق، ارائه داربست تخریب‌پذیر کیتوسان-پلی اتیلن اکسید (PEO) با بررسی توانایی رشد، تکثیر، عدم تمایز و مرگ سلولی سلول‌های استرومایی مغز استخوان (BMSCs) روی آن است.

مواد و روش‌ها: ابتدا تشکیل نانوآلیاف کیتوسان-PEO به نسبت ۹۰ به ۱۰ و ۸۰ به ۲۰ به روش الکتروریسی، توسط میکروسکوپ الکترونی روبشی (SEM) مورد بررسی قرار گرفت؛ این اسکافولد روی ژلاتین ۱ درصد در پلیت ۲۴ خانه‌ای قرار گرفته، استریل شد. سلول‌های BMSCs از استخوان ران موش‌های صحرایی بالغ استخراج و پس از سه مرحله پاساژ در خانه‌های خالی پلیت به عنوان گروه شاهد و هم روی داربست کشت داده شد. میزان تکثیر، عدم تمایز و سلول‌های در حال مرگ، طی روزهای دوم، چهارم و ششم مورد بررسی قرار گرفت.

نتایج: نتایج نشان دادند که مورفولوژی سلول‌ها روی داربست حفظ شده، با گروه شاهد، مشابه بود. میزان تکثیر سلول‌ها روی داربست در روزهای متواالی افزایش یافته، اختلافی معنی دار با میزان تکثیر سلول‌ها در کشت سلول‌ها در گروه شاهد نداشت؛ یافته‌ها همچنین نشان دادند که درصد تمایز سلول‌های BMSCs و درصد میزان مرگ سلولی نیز در سلول‌های کشت داده شده روی داربست در مواجه با داربست در پایان روز ششم با گروه شاهد مشابه بود.

نتیجه‌گیری: تکثیر، عدم تمایز و عدم مرگ سلولی BMSCs روی نانوآلیاف کیتوسان-PEO زیست تخریب‌پذیر به ارائه مدلی از داربست منجر شد که می‌تواند در مهندسی بافت و سلول درمانی مورد استفاده قرار گیرد.

دربافت: ۹۱/۸/۳۰  
آخرین اصلاح‌ها: ۹۱/۱۱/۷  
پذیرش: ۹۱/۱۱/۱۸

واژگان کلیدی: نانوآلیاف، کیتوسان، داربست، BMSCs

## مقدمه

بسیار مورد استفاده قرارمی‌گیرند (۶). هدف از مطالعه حاضر، ارائه داربستی زیست تخریب‌پذیر و از نانوالیاف کیتوسان-PEO است که سلول‌های BMSCs روی آن، بیشترین تکثیر سلولی و کمترین مرگ‌ومیر سلولی را داشته، در مواجه با آن بدون تمایز باقی‌بمانند.

## مواد و روش‌ها

### مواد

کیتوسان با وزن ملکولی متوسط ( $M_w=190\text{kD}$ ) با ۸۵ درصد دی استیله، PEO ( $M_w=900\text{kD}$ ) و (DMSO) از شرکت سیگما. استیک اسید گلامسیال، پودر ژلاتین، تریپسین ۰/۰۲۵ درصد، اتیلن دی ترا آمین ۰/۰۴ درصد (EDTA ۰.۰۴%)، معرف‌ها و رنگ‌ها از شرکت مرک آلمان. کتامین و زایلازین از شرکت آلفاسن هلند. محیط کشت α-MEM از شرکت جیکوی انگلیس و تریتون-X-100 از شرکت فلوکا خریداری شد. موش‌های رت برای استخراج (BMSCs)، از آزمایشگاه حیوانات آزمایشگاهی مرکز تحقیقات علوم اعصاب پژوهشگاه بقیه ... (عج) تهیه شدند.

**تهییه محلول‌ها برای الکتروریسمی**  
ابتدا محلول‌های ۲ درصد وزنی- حجمی کیتوسان و ۳ درصد وزنی- حجمی PEO در اسید استیک ۰/۵ مولار حل شده، هریک جداگانه تهیه شدند؛ سپس محلول‌ها با نسبت ۸۰ به ۲۰ و ۹۰ به ۱۰ حجمی- حجمی (کیتوسان-PEO) مخلوط و به مدت ۵ ساعت به- هم زده شدند.

### الکتروریسمی نانوالیاف

هرویک از محلول‌های تهیه شده بالا و ۲ درصد کیتوسان خالص (۱۰۰ به ۰) در سرنگ ۲ ml با سر سوزن ۰/۵ mm ریخته شد و سپس داخل دستگاه الکتروریسمی (FANAVARSAN / ایران) میان دو قطب مخالف قرارداده شده، با اعمال ولتاژ با اختلاف پتانسیل ۱۸ - ۲۲kv به تهیه نانوالیاف اقدام شد. شکل و میانگین

دستاوردهای بیولوژیکی درخصوص کشت سلولی با استفاده از مواد زیست تخریب‌پذیر در حال حاضر، یکی از امیدبخش‌ترین روش‌های است. نانوالیاف، ساختار و عملکردی مشابه ماتریکس خارج سلولی دارد و مطالعات نشان داده‌اند که سلول‌ها در کنار مواد نانوساختار غیرسمی به‌خوبی می‌توانند رشد و تکثیر یابد (۱). فرایندهای مختلف به منظور ساخت نانوالیاف برای ایجاد ماتریکس‌های لیفی میکرو یا نانو مانند کشش، خودآرایی، ستز قالبی، جداسازی فازی و الکتروریسمی معروفی شده‌اند. در الکتروریسمی محلول پلیمری با ویسکوزیته مناسب را میان دو قطب مخالف بار الکتریکی قرارداده، با اعمال اختلاف پتانسیل بالا به ساخت نانو الیاف اقدام می‌کنند (۲). در ساخت نانوالیاف به روش الکتروریسمی از پلیمرهای ستزی و طبیعی مختلفی استفاده شده که اغلب، پلیمرهای طبیعی ارجح ترند و به تازگی، تلاش‌های زیادی برای تهییه ساختارهای نانولیفی برپایه کیتوسان ارائه شده است که با موفقیت‌هایی نیز همراه بوده است (۳). کیتوسان، یکی از پلیمرهای زیست تخریب‌پذیر و زیست سازگار با بدن انسان بوده، ویژگی‌های خاصی نیز دارد که این پلیمر را برای بسیاری از زمینه‌های زیستی، پزشکی، دارورسانی و ژن درمانی مناسب کرده است (۴). استفاده از PEO به همراه کیتوسان در هنگام الکتروریسمی موجب می‌شود که فرایند رسندگی، بهتر و راحت‌تر انجام شود و برای به دست آوردن ساختارهای لیفی یکدست و بدون گره، بهتر است که تریتون-X-100 و دی متیل سولفوکساید به ترتیب به عنوان سورفتانت و کمک حلال نیز به آن اضافه شود (۵). سلول‌های ایده‌آل برای پیوند باید خصوصیاتی نظیر دستیابی آسان، قدرت تکثیر سریع در محیط کشت، قدرت حیات طولانی، عدم رد پیوند در میزان را داشته باشند که سلول‌های BMSCs تمامی این صفات را دارند؛ این سلول‌ها قادر به تولید انواعی از فاکتورهای رشد، فاکتورهای تروفیک و سایتوکاین‌ها بوده، در سلول درمانی و مهندسی بافت

واحد حجم و زنده و مرده بودن آنها توسط تریپان بلو، تعداد  $5 \times 10^3$  سلول به هریک از پلیت‌های کشت سلولی اضافه شد و سپس در انکوباتور  $5\text{ CO}_2$  درصد و دمای ۳۷ درجه سانتی‌گراد قرارداده شد.

گروه شاهد، خانه‌هایی از پلیت بدون ژلاتین و نانوالیاف و گروه ژلاتین، خانه‌هایی از پلیت که فقط ژلاتینه شده‌اند هستند.

برای بررسی میزان رشد و تکثیر سلول‌های زنده، هریک از خانه‌های مورد نظر در روزهای دوم، چهارم و ششم با میکروسکوپ اینتورت (Leica / آلمان) مشاهده و توسط دوربین دیجیتال متصل به میکروسکوپ (INFINITY1 کانادا) با بزرگنمایی‌های مختلف از آنها عکس گرفته شد. به منظور شمارش سلول‌ها، پنج میدان میکروسکوپی با لنز شیئی  $10\times$  به صورت تصادفی انتخاب و تعداد سلول‌ها در هر میدان شمارش و میانگین آنها گرفته شد و این کار تا سهبار تکرار و هر دفعه در چهار خانه تکرار شد.

### بررسی سلول‌های در حال مرگ

در پایان روز ششم به منظور تعیین مرگ سلولی از ماده فلورسنت آکریدین اورنج ( $2\text{ mg/ml}$ ) استفاده و سلول‌های با هسته نارنجی و سیتوپلاسم قرمز به عنوان سلول‌های در حال مرگ و سلول‌های با هسته و سیتوپلاسم سبز به عنوان سلول‌های زنده در نظر گرفته شدند و برای شمارش، تعداد صد سلول در دست کم سه میدان میکروسکوپی با لنز شیئی  $10\times$  به صورت تصادفی شمارش شدند که از این تعداد، سلول‌های در حال مرگ، مشخص و درنهایت، میانگین درصد سلول‌های در حال مرگ به دست آمد.

### ایمونوسیتوشیمی

سلول‌ها در پایان روز ششم برآلی ثبوت به مدت ۳۰ دقیقه در معرض فرمالین  $10\text{ درصد}$  قرار گرفته، سپس با PBS سه مرتبه ۵ دقیقه‌ای شسته شدند. نمونه‌ها در معرض مخلوط سرم بز  $10\text{ درصد}$  و Triton X-100  $0/3\text{ درصد}$  به مدت ۱ ساعت قرارداده شدند. پس از رقیق کردن

قطر نانوالیاف حاصل از روند الکتروزیسی با استفاده از دستگاه SEM شرکت LEO مدل 1455 VP ساخت کشور انگلیس تعیین شد. به منظور تعیین میانگین ضخامت نانوالیاف، ۵ تصویر SEM از نقاط مختلف تهیه و از هر تصویر، میزان ضخامت ۱۰ نانوالیاف بدست آمد.

### استخراج سلول‌های BMSCs

با رعایت اصول کار با حیوانات آزمایشگاهی، سلول‌های BMSCs از استخوان‌های ران موش صحرابی بالغ نژاد ویستار با سن ۶ تا هشت هفته استخراج شدند؛ بدین ترتیب که پس از بیهوش کردن حیوان، مخلوط  $50\text{ mg/kg}$  کتامین و  $5\text{ mg/kg}$  زایلazin (۷) توسط محلول بتادین جراحی و الكل  $70\text{ درصد}$  اندام خلفی و پشت حیوان به طور کامل ضد عفونی شد، سپس استخوان‌ها از وسط دونیم شدند و با استفاده از سرنگی  $5\text{ ml}$  حاوی  $1\text{ میلی-Liter}$  محیط کشت MEM- $\alpha$ ، مغز استخوان از داخل کانال استخوان آسپیره شد. محتوى داخل سرنگ در زیر هود در پلیت ۶ سانتی حاوی محیط و  $10\%$  FBS (Ricutherford / MMM / انگلیس) قرار گرفت؛ پس از گذشت ۲۴ ساعت، محیط کشت سلولی با محیط تازه تعویض شد. سلول‌های استرومائی چسبیده به کف فلاسک باقی‌مانده، سلول‌های خونی شناور حذف شدند. هنگامی که تراکم سلول‌های چسبیده به کف فلاسک به  $70\text{ تا }80\text{ درصد رسید}$ ، سلول‌ها توسط Trypsin  $0.25\%$  و EDTA  $0.04\%$  پاساژه شدند؛ این عمل تا سه پاساژ ادامه یافت؛ در این شرایط، سلول‌ها از مورفولوژی یکسانی بهره‌مند شدند.

### کشت سلول و بررسی آن

ابتدا نانوالیاف با نسبت  $90\text{ به }10\text{ و }80\text{ به }20$  کیتوسان-PEO توسط ژلاتین  $1\text{ درصد}$  به کف پلیت ۲۴ خانه‌ای چسبانده شد و سپس توسط الكل  $70\text{ درصد}$  و همچنین قرار گرفتن به مدت ۱ ساعت در فاصله نیم متری از اشعه UV استریل شدند.

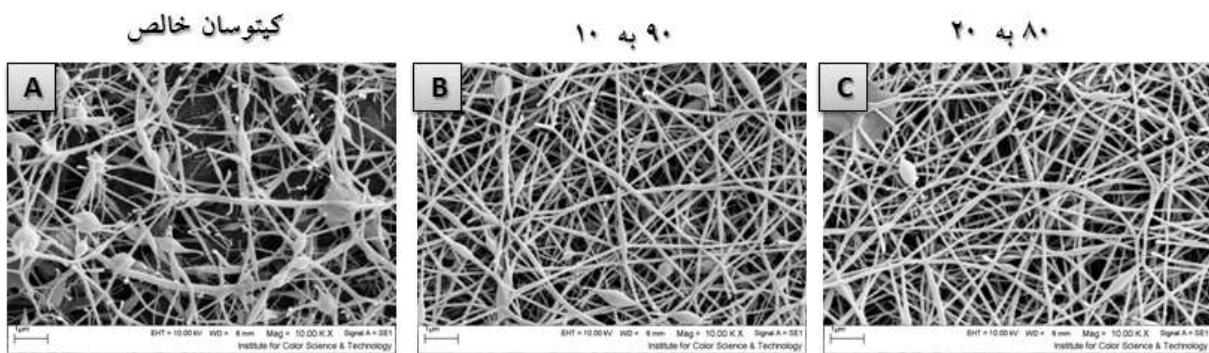
از سلول‌های BMSCs پاساژ سوم مرحله پیشین، سوسپانسیون سلولی تهیه و پس از بررسی تعداد در

در حد  $P < 0.05$  در نظر گرفته شد.

## نتایج

### ریز ساختار نانوالیاف

تصاویر میکروسکوپ الکترونی از نانوالیاف بیانگر این است که محلول ۲ درصد کیتوسان خالص به دلیل ویسکوزیتی بالا به خوبی قابلیت تشکیل لیف را نداشته، نانو الیاف حاصل، منقطع و دارای گره فراوان است؛ اما از محلول کامپوزیتی کیتوسان/PEO با نسبت‌های ۹۰ به ۱۰ و ۸۰ به ۲۰ نانو الیاف یکدست، پیوسته و بدون گره، به ترتیب به قطر  $250 \pm 10$  nm و  $200 \pm 10$  nm بودند؛ این موضوع نشان داد که غلظت محلول کامپوزیتی کیتوسان/PEO با نسبت‌های ۹۰ به ۱۰ و ۸۰ به ۲۰ دارای ویسکوزیتی مناسب بوده، زنجیرهای پلیمری به خوبی با یکدیگر در گیری داشته‌اند که به عدم تشکیل گره در نانوالیاف منجر شده است. به نظر می‌رسد که نانوالیاف محلول کامپوزیتی کیتوسان/PEO با نسبت ۸۰ به ۲۰ یکدست‌تر بوده، از کیفیتی بالاتر بهره‌مند است اما به طور کلی در ضخامت این نانوالیاف، اختلافی معنی‌دار میان این دو نسبت وجود نداشت (شکل ۱).



شکل ۱. تصویر SEM از نانوالیاف الکترووریسی شده: (A) محلول ۲٪ کیتوسان خالص (کیتوسان خالص) به خوبی قادر به تولید نانوالیاف نبوده و دارای گره فراوان است. (B) و (C) به ترتیب نانوالیاف حاصل از محلول ۹۰ به ۱۰ و ۸۰ به ۲۰ از کیتوسان-PEO که به صورت یکدست، پیوسته و بدون گره می‌باشدند

درصد و در روز چهارم (تصاویر B و E شکل ۲) درصد و در روز ششم (تصاویر C و F شکل ۲) به طور کامل، پر شده بود و تفاوتی مشخص از لحاظ میزان رشد

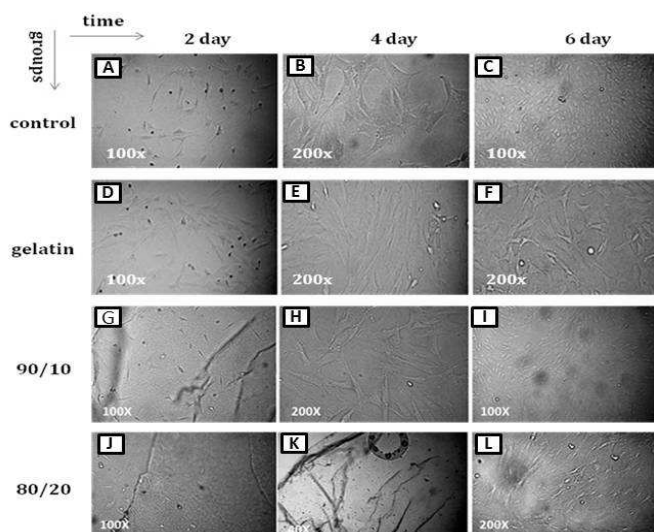
۱:۱۰۰ آنتی‌بادی‌های اولیه ضدموشی Fibronectin و CD44 برای تعیین بنیادی و استرومایی بودن سلول‌ها، مدت یک شب در درجه حرارت ۴ درجه سانتی‌گراد انکوبه شد. سلول‌ها پس از انجام شستشو با PBS مانند گذشته مدت ۲ ساعت در دمای محیط در معرض آنتی‌بادی ثانویه ضدموشی (۱:۲۰۰) کونژوگه به FITC قرار گرفتند؛ سپس شستشو با PBS انجام شد. نمونه‌ها توسط میکروسکوپ فلورسانس اینورت (Leica / آلمان) مورد بررسی قرار گرفت. برای شمارش سلول‌ها از اتیدیوم بروماید ۰/۰۱ درصد به مدت ۱ دقیقه استفاده و شستشو توسط PBS انجام شد؛ نحوه شمارش سلول‌ها در مناطق مختلف، تعداد سلول‌های ایمونوپوزیتیو مشخص هر گروه ثبت شد؛ این کار، روی سه خانه از پلیت ۲۴ خانه‌ای انجام و در مجموع آزمایش سه بار تکرار شد.

### تجزیه و تحلیل آماری

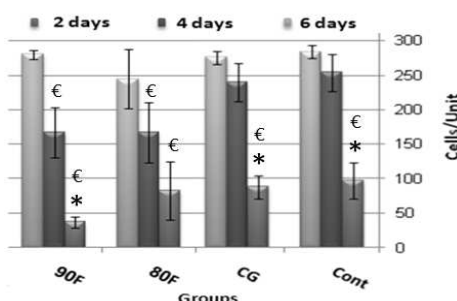
تمام مقادیر پس از سه دفعه تکرار بر حسب Mean $\pm$ SEM ارائه شده است. اطلاعات به دست آمده توسط روش آماری آنالیز واریانس یک‌طرفه (ANOVA) و آزمون Tukey مورد مقایسه قرار گرفته، سطح معنی‌داری

فسرده شده بودند. میزان رشد و تلاقی سلول‌ها در روز نانوالیاف ۸۰ به ۲۰ در روز دوم (A شکل ۲) حدود ۲۵ درصد و در روز چهارم (K شکل ۲) ۵۵ درصد و در روز ششم (L شکل ۲) بیش از ۹۵ درصد از پلیت پر شده بودند (شکل ۲ و نمودار ۱)؛ اختلافی معنی‌دار نیز در این خصوصیات میان گروه‌ها وجود نداشت.

و تکثیر در میان دو گروه ملاحظه نشد؛ ولی از لحاظ شکل سلولی، در محیط حاوی ژلاتین ۱ درصد سلول‌ها به‌طور کامل، پهن و بزرگ‌تر به‌نظر می‌رسیدند. درصد تلاقی و میزان تکثیر سلول‌ها در روز نانوالیاف ۹۰ به ۱۰ در روز دوم (G شکل ۲) حدود ۱۵ درصد و در روز چهارم (H شکل ۲) ۵۵ درصد و در روز ششم (I) تمام سطح پلیت پر و سلول‌ها به‌طور کامل به‌هم چسبیده و



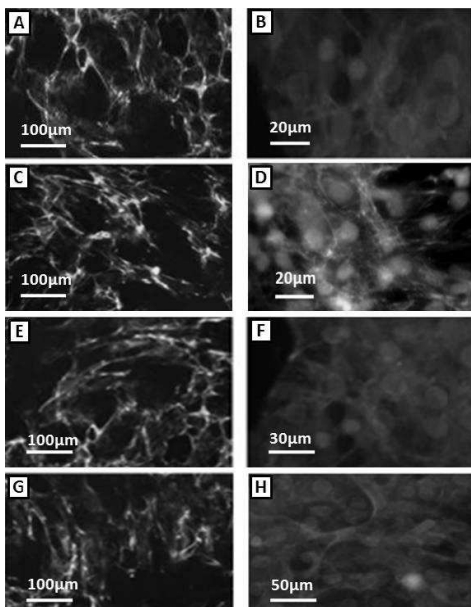
شکل ۲. تصویر سلول‌های زنده با میکروسکوپ اینورت در چهار گروه شاهد، ژلاتین، نانوالیاف ۹۰ به ۱۰ و ۸۰ به ۲۰ کیتوسان-PEO در روزهای دوم، چهارم و ششم پس از کشت سلول را نشان می‌دهد. تفاوتی مشخص از لحاظ میزان رشد در میان دو گروه شاهد و ژلاتین ملاحظه نشد ولی از لحاظ شکل و حالت سلولی، در محیط حاوی ژلاتین ادرصد سلول‌ها به‌طور کامل، کشیده و چسبنده‌تر به‌نظر می‌رسند؛ میزان پراکندگی در تمام سطوح یکسان و سلول‌ها دوکی‌شکل و کشیده‌اند؛ همچنین تصاویر شکل و میزان رشد سلول‌ها در مجاورت نانوالیاف ۹۰ به ۱۰ در روز دوم (G)، روز چهارم (H) و روز ششم (I) را نشان-می‌دهد. میزان رشد سلول‌ها در مجاورت نانوالیاف ۸۰ به ۲۰ به ۱۰ مشابه ۹۰ به ۱۰ بوده و تفاوتی مشخص از لحاظ میزان رشد و شکل سلول‌ها مشاهده نشد. در روز ششم، تمام سطح پلیت پر و سلول‌ها به‌طور کامل به‌هم چسبیده و در هم فرو رفته‌اند.



نمودار ۱. مقایسه میانگین میزان تکثیر سلول‌های BMSCs در گروه‌های مختلف را نشان می‌دهد. در گروه‌های شاهد (CG)، ژلاتین (90F) و نانوالیاف ۹۰ به ۱۰ (افزایش معنی‌داری در روز چهارم نسبت به روز دوم مشاهده می‌شود؛ در حالی که این اختلاف در گروه نانوالیاف ۸۰ به ۲۰ معنی‌دار نیست. میانگین میزان تکثیر سلول‌ها در هر دو گروه از نانوالیاف ۹۰ به ۱۰ و ۸۰ به ۲۰ در روز ششم به‌طور معنی‌داری نسبت به روز چهارم بیشتر است؛ در حالی که در میان روزهای چهارم و ششم در گروه‌های شاهد و ژلاتین این گونه نیست.

\* وجود اختلاف معنی‌دار با روز چهارم

ایمونوفلورسانس آنتی بادی اولیه آنتی Fibronectin و آنتی CD44 سلول های BMSCs را نشان می دهد در این مرحله، سلول های سبزرنگ با هسته های قرمز نشان دهنده بنیادی بودن و استرومایی بودن سلول ها هستند؛ همچنین، ثابت شد که سلول ها در مواجه با نانوالیاف تمایز نیافتدند و اختلافی مشخص میان گروه ها وجود نداشت. برای مشخص شدن هسته سلول ها هنگام شمارش از محلول اتیدیوم بر ماید  $100 \mu\text{g/ml}$  به مدت ۱ دقیقه استفاده شد (شکل ۴).



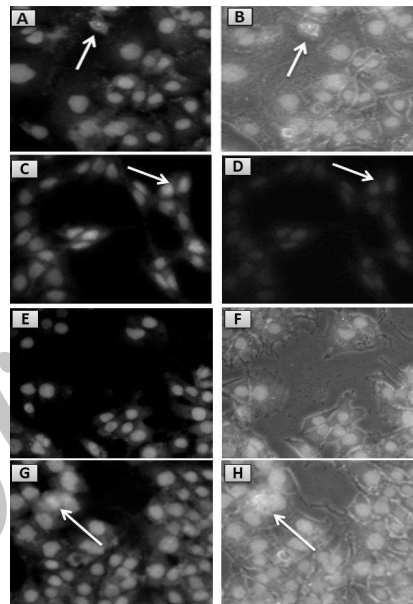
شکل ۴. رنگ آمیزی ایمونوفلورسانس آنتی بادی های اویله Fibronectin (تصاویر سمت چپ) و CD44 (تصاویر سمت راست) از سلول های BMSCs است. تابش نور فلورسانس مرتبط با FITC کونژوگه به آنتی بادی ثانویه ضدموشی است که به رنگ سبز دیده می شود. (A) و (B) گروه شاهد، (C) و (D) گروه ژلاتین (E) و (F) نانوالیاف  $10/90$  (G) و (H) نانوالیاف  $20/80$  هستند. برای مشخص شدن هسته سلول ها از محلول اتیدیوم بر ماید استفاده شده است.

### بحث و نتیجه گیری

سلول های BMSCs توانستند بر روی داربست نانوالیاف کیتوسان-PEO زیست تخریب پذیر رشد و تکثیر مناسبی داشته و همچنین بدون تمایز و بدون

### وجود اختلاف معنی دار با روز ششم بررسی مرگ سلولی

همان طور که در تصاویر مشخص است بیشتر سلول ها پس از شش روز، زنده بودند و درصد کمی از سلول ها به مرگ سلولی، چار شدند که هیچ اختلاف معنی داری نیز در این خصوص میان گروه ها وجود نداشت (شکل ۳).



شکل ۳. رنگ آمیزی آکریدین اورنج از سلول های BMSCs در روز ششم پس از پاساز سوم است که هسته سلول های زنده به رنگ سبز و سیتوپلام سلول مرده به رنگ نارنجی دیده می شوند. تصاویر فلورسانست گروه شاهد: (C) گروه ژلاتین، (E) نانوالیاف  $90/10$  و (G) نانوالیاف  $80/20$  به  $20$  هستند. میکروگراف (A)، (B)، (F)، (D)، (B) و (H) تصویر فاز کنتراست همان میدان از تصاویر مقابل است. نوک پیکان سلول در حال مرگ را نشان می دهد. جدول ۱. درصد سلول های در حال مرگ در پایان روز ششم

میانگین درصد سلول های در حال مرگ در روز ششم	گروه ها
$3/2 \pm 0/2$	شاهد
$2/6 \pm 0/5$	ژلاتین
$2/4 \pm 0/3$	نانوالیاف $80/20$ به $10$
$3/2 \pm 0/6$	نانوالیاف $90/10$ به $10$

### ایمونوسیتوشیمی

به منظور ارزیابی خلوص و اثبات عدم تمایز سلول های BMSCs از رنگ آمیزی ایمونوسیتوشیمی استفاده شد. شکل ۵ تصاویر فلوروسنت از رنگ آمیزی

پروتئین در سلولها مؤید بنیادی بودن آنها بود. این روش توسط سایر محققین نیز به کار گرفته شده است (۹). در تایید خلوص سلولهای BMSCs از آنتی بادی CD44 نیز استفاده شد که نتایج مانند آنتی بادی فیبرونکتین درصد بالایی از سلولها مثبت بودند. این نتایج بر روی سلولهای بنیادی مزانشیمی توسط دیگران نیز نشان داده شد (۱۰). همچنین Lamoury و همکارانش سلولهای BMSCs حیوان و انسان را در دو محیط جداگانه کشت داده و با استفاده از آنتی بادی ضد فیبرونکتین و بیان mRNA ژن Oct-4 هویت بنیادی بودن آنها را تایید کردند (۱۱).

در مطالعه دیگری نشان داده شد که امکان تکثیر و تمایز سلول‌های بنیادین مزانشیمی مغز استخوان انسانی به سمت هپاتوسیت‌ها بر روی نانو داربستی متشكل از پلی کاپرولاتکتون، کلاژن و پلی اترسولفون وجود دارد و داربست مذکور برای این منظور بسیار مناسب بوده است (۱۲) و نوع سلول استفاده شده در این تحقیق از نظر رده سلولی همان سلول‌های مورد مطالعه‌ی ما بوده است ولی از نوع انسانی آن. که هدف اصلی آنها تمایز این سلول‌ها به سمت سلول‌های کبدی بوده است بنابراین کشت سلول‌ها را تا روز ۲۰ و ۲۱ پیگیری کرده اند در حالی هدف ما عدم تمایز سلولی و حفظ بنیادی بودن آنها در طول مطالعه مورد تاکید بوده است زیرا پتانسیل تمایز بالای این سلول‌ها در محیط درمانی و ترمیمی ضمن تاثیر بیشتر در درمان موجب دستیابی به این داربست در زمان بسیار کوتاهی می‌شود.

در مطالعه‌ای Mengyan و همکارنش سلولهای میوبلاست رت را روی درصدهای مختلفی از نانولایاف ژلاتین و پلی آنیلین کشت دادند و میزان رشد و تکثیر و همچنین شکل سلول‌ها را در روزهای دو، چهار و ششم مورد بررسی قراردادند و نتایج، تفاوت قابل ملاحظه‌ای را در گروههای مختلف چه از لحاظ میزان رشد و تکثیر و چه از لحاظ مورفولوژی نشان نداد که نتایج حاصله بسیار مطابقت با نتایج تحقیق ما داشت (۱۳).

مرگ سلولی باقی بمانند و بنابراین داربستی از سلول نانوالیاف به دست آمد.

در الکتروریسی نانوالیاف عوامل و پارامترهای متعددی چه از لحاظ سخت افزاری مانند ولتاژ، نرخ تغذیه و فاصله بین نوک سوزن با صفحه جمع کننده و چه از لحاظ فیزیکی و شیمیابی محلول پلیمر مانند ویسکووزیته، رساناگی الکتریکی و غلظت پلیمر به شدت می‌تواند نحوه شکل گیری و شکل این الیاف را تحت تأثیر قرار دهد (۵).

امروزه روش‌های درمانی نقص یا آسیب در بدن به ویژه زخم و آسیب‌های پوستی، استفاده از لایه‌های بسیار نازک نانوالیاف تهیّه شده از پلیمر کیتوسان می‌باشد. آزمایشات و تجربیات مختلف، نشان داده است که در این روش سرعت ترمیم جراحت، نسبت به سایر روش‌های مرسوم، بیشتر بوده و خود کیتوسان به لحاظ زیست سازگاری، زیست تخریب پذیری و عدم تحریک پاسخ‌های دفاعی بدن نقش موثری در ترمیم و بهبودی دارد (۸). از طرفی برای انجام سلول درمانی از منابع سلولی متفاوتی می‌توان استفاده کرد که از آن جمله می‌توان به سلولهای مزانشیمی مغز استخوان اشاره کرد. به نظر می‌رسد با تلفیق این دو روش درمانی بتوان راهکار مناسبی پیدا کرد تا باعث هم افزایی اثر شود.

در مطالعه‌ای که Bhattarai و همکارانش در سال ۲۰۰۵ انجام دادند، درصد های مختلفی از محلول های کامپوزیتی کیتوسان و PEO را مورد الکترورسی قرار دادند و نشان دادند که غشای نانولیفی کیتوسان-PEO با نسبت های ۹۰ به ۱۰ ساختار خود را در آب به خوبی حفظ و چسبیدن بهتر سلول های کندروسیت و استئوبلاست را در بر داشته است (۵).

در تحقیق حاضر برای تعیین درصد خلوص سلولهای استرومائی به دلیل وجود گلیکوپروتئین فیرونکتین در سلولهای با منشأ مزانشیمی، سلولهای BMSCs برعلیه این گلیکوپروتئین به روش ایمونوسایتوشیمی رنگ شدند، بیان بسیار بالای این

PEO را طی روزهای متوالی تایید، و نشان داد که شکل سلول در طول مطالعه حفظ شده است. در نتیجه گیری نهایی می‌توان گفت با توجه به اینکه سلول‌های BMSCs به راحتی می‌توانند بر روی نانوالیاف کیتوسان-PEO رشد و تکثیر مناسب، و مرگ سلولی بسیار کمی داشتند و با توجه به اینکه سلولها در این مدت دچار تمایز نشده و همچنان بنیادی بودن خودشان را حفظ کردند، بنابراین داربستی زیست تخریب پذیر از سلول-نانوالیاف در مدت زمان کوتاه یک هفت‌های بدست آمد.

## منابع

- Teixeira AI, Abrams GA, Bertics PJ, Murphy CJ, Nealey PF. Epithelial contact guidance on well-defined micro- and nanostructured substrates. *J Cell Sci.* 2003; 116(3):1881-92.
- Han D, Gouma PI. Electrospun bioscaffolds that mimic the topology of extracellular matrix. *Nanomedicine: Nanotechnology, Biology and Medicine.* 2006;2(1):37-41.
- Jayaraman K, Kotaki M, Zhang YZ. Recent advances in polymer nanofibers. *J Nanosci Nanotechnol.* 2004; 4: 52-65.
- Khora E, Yong L. Implantable applications of chitin and chitosan. *J Biomaterials.* 2003; 24(3):2339-2349.
- Bhattaraia N, Edmondsona D, Veischa O, Matsenb FA, Zhang M. Electrospun chitosan-based nanofibers and their cellular compatibility. *J Biomaterials.* 2005; 67(1): 6176-6184.
- Tohill M, Mantovani C, Wiberg M, Terenghi G. Rat bone marrow mesenchymal stem cells express glial markers and stimulate nerve regeneration. *Neurosci Lett.* 2004; 362(2): 200-203.
- Seung Y. The survival and migration pattern of the Bone marrow stromal cells after intracebral transplantation in Rats. *J Korean Neurosurg.* 2004; 36(1):400-404.
- Hua X, Yashodhan S, Jeffrey S and Brian S. Use of a chitosan-based hemostatic dressing in laparoscopic partial nephrectomy. *J Journal of Biomedical Materials.* 2008 Apr;85(1):267-71.
- Zhao LR, Duan WM, Reyes M, Keene CD, Verfaillie CM, Low WC. Human bone marrow stem cells exhibit neural phenotypes and ameliorate neurological deficits after grafting into the ischemic brain of rats. *Exp Neurol.* 2002 Mar;174(1):11-20.
- Bossolasco P, Cova L, Calzarossa C, Rimoldi SG, Borsotti C, Deliliers GL, Silani V, Soligo D, Polli E. Neuro-glia differentiation of human bone marrow stem cells in vitro. *Exp Neurol.* 2005 Jun;193(2):312-25.
- Lamoury FM, Croitoru-Lamoury J, Brew BJ. Undifferentiated mouse mesenchymal stem cells spontaneously express neural and stem cell markers Oct-4 and Rex-1. *Cyotherapy.* 2006; 210(2):228-42.
- Kazemnejad S, Allameh A, Soleimani M, Ahmad G, Mohammadi Y, Amirizadeh N, et al. Development of a novel three-dimensional biocompatible nanofibrous scaffold for the expansion and hepatogenic differentiation of human bone marrow mesenchymal stem cells. *J Biotechnology.* 2007; 4(3):201-211.
- Mengyan Li, Yi Guo, Yen Wei, Alan G. MacDiarmid, Peter I and Lelkes. Electropinning polyaniline-contained gelatin nanofibers for tissue engineering applications. *J Biomaterials* 2006; 27(2):2705-2715.

## Study of biocompatibility of electrospun chitosan-based nanofiber co-cultured with bone marrow stromal cells

Asgar Emamgholi<sup>1</sup>, Gholam Reza Kaka<sup>2\*</sup>, Minoo Sadri<sup>3</sup>, Seyed Homayoon Sadraie<sup>4</sup>, Davood Zolfaghari<sup>5</sup>, Zahra Borbor<sup>6</sup>

1. M.Sc. of medical nanobiotechnology- Neuroscience Research Center- Baqiyatallah University of Medical Sciences - Tehran
2. Ph D of Neuroscience Research Center- Baqiyatallah University of Medical Sciences - Tehran
3. Ph D of Department of Biochemistry and Biophysics, Education and Research Center of Science and Biotechnology, Malek Ashtar University- Tehran
4. Ph D of Neuroscience Research Center and Department of Anatomy- Baqiyatallah University of Medical Sciences Department of Anatomy- Tehran
5. M. SC of medical nanobiotechnology- Nanobiotechnology Research Center- Baqiyatallah University of Medical Sciences – Tehran
6. M. Sc. of Microbiology- Neuroscience Research Center -Baqiyatallah University of Medical Sciences - Tehran

\* Corresponding author: GR Kaka Ph D of Neuroscience Research Center- Baqiyatallah University of Medical Sciences - Tehran

E-mail: gh\_kaka@yahoo.com

**Background and Objective:** Several studies have been performed to achieve a scaffold for growing stem cells. The purpose of the study was to provide a biodegradable scaffold of chitosan - poly ethylene oxide (PEO) with the ability for growing, proliferation, un-differentiation and apoptosis of bone marrow stromal cells (BMSCs).

**Materials and Methods:** First, formation of chitosan-PEO nanofibers composed of 90 to 10 and 80 to 20 per electro technique were studied by scanning electron microscope (SEM). These scaffolds were located on 1% gelatin in 24-well plates and were then sterilized. Femoral BMSCs of rats were cultured on scaffolds after two passages from the house empty plate as controls. BMSCs proliferation, differentiation and apoptosis were studied in days II, IV and VI.

**Results:** The results showed that the morphology of cells was maintained on scaffolds similar to controls. The rate of cell proliferation on the scaffold on consecutive days increased in cultured cells of control group but the differences were not significant. The results also showed that at the end of the six days, BMSCs differentiation and the percentage of cell death on the scaffold were similar with cultured cells in control group.

**Conclusion:** Proliferation, un-differentiation and no apoptosis of BMSCs on biodegradable chitosan-PEO nanofiber are obtained as a model that can be used in tissue engineering and cell therapy.

**Key words:** Nanofibers, Chitosan, Scaffolds, Bone Marrow Stromal Cells

Received: 2012/11/20

Last revised:2013/1/26

Accepted:2013/2/6